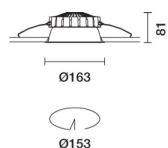
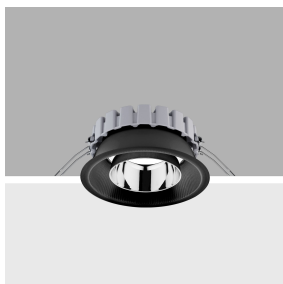


Ultimo aggiornamento delle informazioni: Aprile 2025

Configurazione di prodotto: QW15.F8

QW15.F8: Ø 163 mm - warm white - DALI - UGR<19 - 16.8W 2033.5lm - 3000K - Nero/trasparente/cromo

**Codice prodotto**

QW15.F8: Ø 163 mm - warm white - DALI - UGR<19 - 16.8W 2033.5lm - 3000K - Nero/trasparente/cromo

Descrizione tecnica

Apparecchio rotondo fisso finalizzato all'utilizzo di sorgente LED con tecnologia C.o.B. Versione con falda per installazione ad appoggio. Riflettore termoplastico prismaticizzato completo di recuperatore di flusso e di schermo antiabbagliamento collocato al centro dell'ottica. Lo schermo antiabbagliamento è realizzato in materiale termoplastico e metallizzato con vapori di alluminio sottovuoto con strato di protezione antigraffio. Dissipatore realizzato in alluminio pressofuso verniciato grigio. Prodotto completo di LED in tonalità di colore warm white (3000K). Emissione luminosa UGR<19 L<3000 cd/mq ideale per ambienti dove sono presenti videotermini.

Installazione

Ad incasso tramite molle di torsione che consentono una facile installazione su controsoffitti con spessore a partire da 1 mm fino a 25 mm.

Colore

Nero/trasparente/cromo (F8)

Peso (Kg)

0.76

Montaggio

incasso a soffitto

Cablaggio

prodotto completo di componentistica DALI

Note

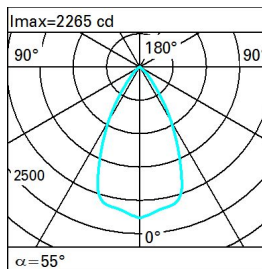
Versioni TPa disponibili su richiesta, contattare iGuzzini per maggiori informazioni

Soddisfa EN60598-1 e relative note

**Dati tecnici**

| | | | |
|--|-------|------------------------------------|---------------------------------|
| Im di sistema: | 1936 | Temperatura colore [K]: | 3000 |
| W di sistema: | 16.8 | MacAdam Step: | 2 |
| Im di sorgente: | 2450 | Life Time LED 1: | > 50,000h - L90 - B10 (Ta 25°C) |
| W di sorgente: | 15 | Codice lampada: | LED |
| Efficienza luminosa (lm/W, dati di sistema): | 115.2 | Numero di lampade per vano ottico: | 1 |
| Im in modalità emergenza: | - | Codice ZVEI: | LED |
| Flusso totale emesso a 90° o superiore [Lm]: | 0 | Numero di vani ottici: | 1 |
| Light Output Ratio (L.O.R.) [%]: | 79 | Control: | DALI-2 |
| CRI (minimo): | 80 | | |

Polare

|  | CIE | | | | Lux | | | |
|---|---|-----|-----|-----|-----|---|----|------|
| | nL 0.79 93-99-100-100-79 UGR 15.1-15.1 | | | | | | | |
| | DIN A.61 | | | | | | | |
| | UTE 0.79A+0.00T F*1=925 F*1+F*2=994 F*1+F*2+F*3=998 | | | | | | | |
| | CIBSE LG3 L<1500 cd/m² at 65° UGR<16 L<1500 cd/mq @ 65° | | | | h | d | Em | Emax |
| α=55° | 2 | 2.1 | 435 | 566 | | | | |
| | 4 | 4.2 | 109 | 142 | | | | |
| | 6 | 6.3 | 48 | 63 | | | | |
| | 8 | 8.4 | 27 | 35 | | | | |

Coefficienti di utilizzazione

| R | 77 | 75 | 73 | 71 | 55 | 53 | 33 | 00 | DRR |
|------|----|----|----|----|----|----|----|----|-----|
| K0.8 | 69 | 64 | 61 | 59 | 64 | 61 | 60 | 58 | 73 |
| 1.0 | 72 | 68 | 66 | 63 | 68 | 65 | 65 | 62 | 78 |
| 1.5 | 77 | 74 | 71 | 70 | 73 | 71 | 70 | 67 | 85 |
| 2.0 | 79 | 77 | 76 | 74 | 76 | 75 | 74 | 71 | 90 |
| 2.5 | 81 | 79 | 78 | 77 | 78 | 77 | 76 | 74 | 93 |
| 3.0 | 82 | 81 | 80 | 79 | 80 | 79 | 78 | 75 | 96 |
| 4.0 | 83 | 82 | 82 | 81 | 81 | 80 | 79 | 77 | 97 |
| 5.0 | 84 | 83 | 82 | 82 | 82 | 81 | 80 | 78 | 98 |

Curva limite di luminanza

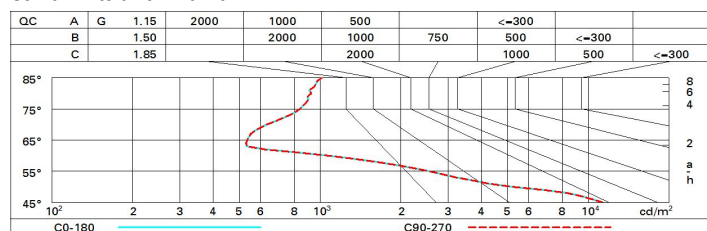


Diagramma UGR

| Corrected UGR values (at 2450 lm bare lamp luminous flux) | | | | | | | | | | | |
|--|------|---------------------|------|------|------|------|-------------------|------|------|------|------|
| Reflect.: ceiling/cav walls work pl. Room dim x y | | 0.70 | 0.70 | 0.50 | 0.50 | 0.30 | 0.70 | 0.70 | 0.50 | 0.50 | 0.30 |
| | | 0.50 | 0.30 | 0.50 | 0.30 | 0.30 | 0.50 | 0.30 | 0.50 | 0.30 | 0.30 |
| | | 0.20 | 0.20 | 0.20 | 0.20 | 0.20 | 0.20 | 0.20 | 0.20 | 0.20 | 0.20 |
| | | viewed crosswise | | | | | viewed endwise | | | | |
| 2H | 2H | 15.6 | 16.2 | 15.8 | 16.5 | 16.7 | 15.6 | 16.2 | 15.8 | 16.5 | 16.7 |
| | 3H | 15.4 | 16.0 | 15.8 | 16.3 | 16.6 | 15.4 | 16.0 | 15.8 | 16.3 | 16.6 |
| | 4H | 15.4 | 15.9 | 15.7 | 16.2 | 16.5 | 15.4 | 15.9 | 15.7 | 16.2 | 16.5 |
| | 6H | 15.3 | 15.8 | 15.7 | 16.2 | 16.5 | 15.3 | 15.8 | 15.6 | 16.1 | 16.5 |
| | 8H | 15.3 | 15.8 | 15.7 | 16.1 | 16.5 | 15.3 | 15.8 | 15.6 | 16.1 | 16.4 |
| | 12H | 15.3 | 15.8 | 15.7 | 16.1 | 16.4 | 15.2 | 15.7 | 15.6 | 16.0 | 16.4 |
| 4H | 2H | 15.4 | 15.9 | 15.7 | 16.2 | 16.5 | 15.4 | 15.9 | 15.7 | 16.2 | 16.5 |
| | 3H | 15.2 | 15.7 | 15.6 | 16.1 | 16.4 | 15.3 | 15.7 | 15.6 | 16.1 | 16.4 |
| | 4H | 15.2 | 15.6 | 15.6 | 16.0 | 16.4 | 15.2 | 15.6 | 15.6 | 16.0 | 16.4 |
| | 6H | 15.1 | 15.5 | 15.6 | 15.9 | 16.3 | 15.1 | 15.5 | 15.5 | 15.9 | 16.3 |
| | 8H | 15.1 | 15.4 | 15.6 | 15.9 | 16.3 | 15.1 | 15.4 | 15.5 | 15.8 | 16.3 |
| | 12H | 15.1 | 15.4 | 15.5 | 15.8 | 16.3 | 15.0 | 15.3 | 15.5 | 15.8 | 16.2 |
| 8H | 4H | 15.1 | 15.4 | 15.5 | 15.8 | 16.3 | 15.1 | 15.4 | 15.6 | 15.9 | 16.3 |
| | 6H | 15.0 | 15.3 | 15.5 | 15.8 | 16.2 | 15.1 | 15.3 | 15.5 | 15.8 | 16.3 |
| | 8H | 15.0 | 15.3 | 15.5 | 15.7 | 16.2 | 15.0 | 15.3 | 15.5 | 15.7 | 16.2 |
| | 12H | 15.0 | 15.2 | 15.5 | 15.7 | 16.2 | 15.0 | 15.2 | 15.5 | 15.7 | 16.2 |
| 12H | 4H | 15.0 | 15.3 | 15.5 | 15.8 | 16.2 | 15.1 | 15.4 | 15.5 | 15.8 | 16.3 |
| | 6H | 15.0 | 15.2 | 15.5 | 15.7 | 16.2 | 15.0 | 15.3 | 15.5 | 15.7 | 16.2 |
| | 8H | 15.0 | 15.2 | 15.5 | 15.7 | 16.2 | 15.0 | 15.2 | 15.5 | 15.7 | 16.2 |
| Variations with the observer position at spacing: | | | | | | | | | | | |
| S = | 1.0H | 3.9 / -7.0 | | | | | 3.9 / -7.0 | | | | |
| | 1.5H | 0.5 / -9.3 | | | | | 0.5 / -9.3 | | | | |
| | 2.0H | 0.5 / -9.5 | | | | | 0.5 / -9.5 | | | | |